

P-1

Przegroda 1 - Sufit podwieszany

Zestawienie materiałów

Nr	Nazwa materiału	λ	μ	d	R
1	Deski	0.300	6.50	2.50	0.083
2	Membrana izolacyjna	0.180	240000.00	0.10	0.006
3	Filce, maty i płyty z weł. skalnej.(40-80)	0.035	1.30	12.00	3.429
4	Membrana izolacyjna	0.180	240000.00	0.10	0.006
5	Płyty HDF surowe	0.180	70.00	0.60	0.033
Suma oporów $\Sigma R_i =$					3.556

λ [W/(m·K)]

μ [-]

d [cm]

R [(m²·K)/W]

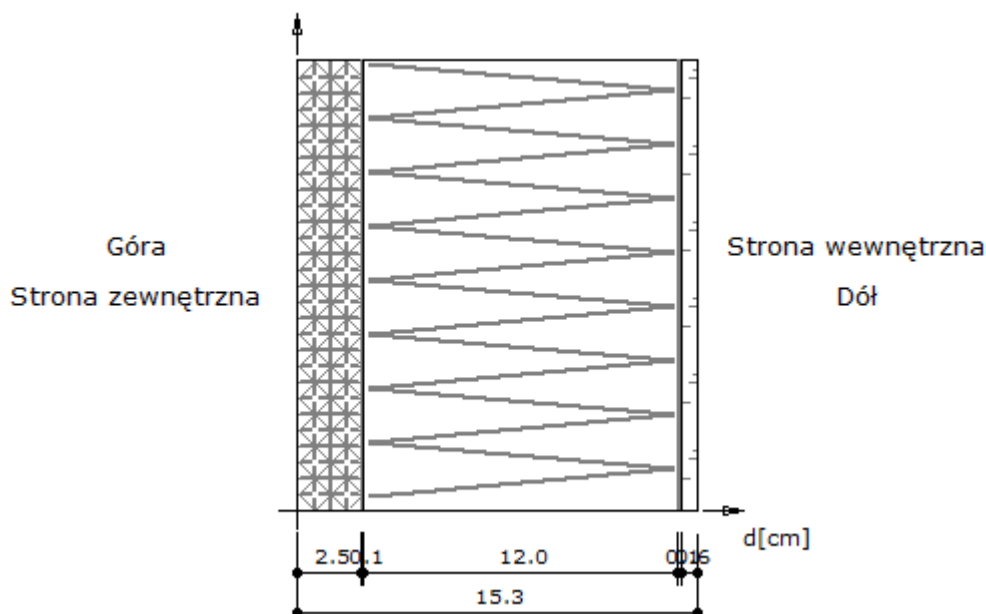
- współczynnik przewodzenia ciepła

- współczynnik przepuszczania pary wodnej

- grubość warstwy

- opór cieplny warstwy materiału

Układ warstw



Wyniki - przenikanie ciepła

Wyznaczenie temperatury zewnętrznej

Numer strefy klimatycznej: 24.

Temperatura obliczeniowa powietrza na zewnątrz budynku $T_e = -20.0^\circ\text{C}$

Wyznaczenie temperatury wewnętrznej

Pomieszczenie wewnętrzne: Wybór pomieszczenia wewnętrznego.

Temperatura obliczeniowa powietrza w pomieszczeniu $T_i = 14.0^\circ\text{C}$

Współczynnik przenikania ciepła

Opory przejmowania ciepła na powierzchniach przegrody:
 na powierzchni wewnętrznej

$$R_{si} = 0.100 \frac{m^2 \cdot K}{W}$$

na powierzchni zewnętrznej

$$R_{se} = 0.040 \frac{m^2 \cdot K}{W}$$

Opór całkowity

$$R_T = R_{si} + \sum R_i + R_{se} =$$

$$= 0.100 + 0.083 + 0.006 + 3.429 + 0.006 + 0.033 + 0.040 =$$

$$= 3.696 \frac{m^2 \cdot K}{W}$$

$$R = R_T = 3.696 \frac{m^2 \cdot K}{W}$$

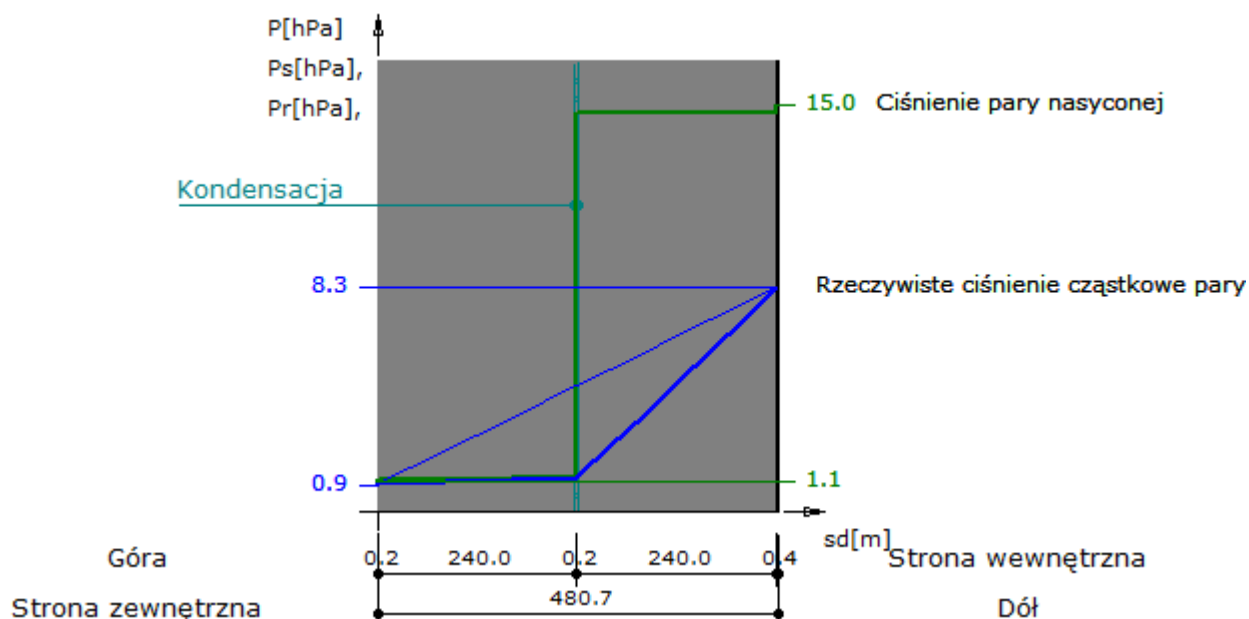
Współczynnik przenikania ciepła przez przegrodę

$$U = \frac{1}{R} = 0.271 \frac{W}{m^2 \cdot K}$$

$$U = 0.27 [W/m^2 \cdot K]$$

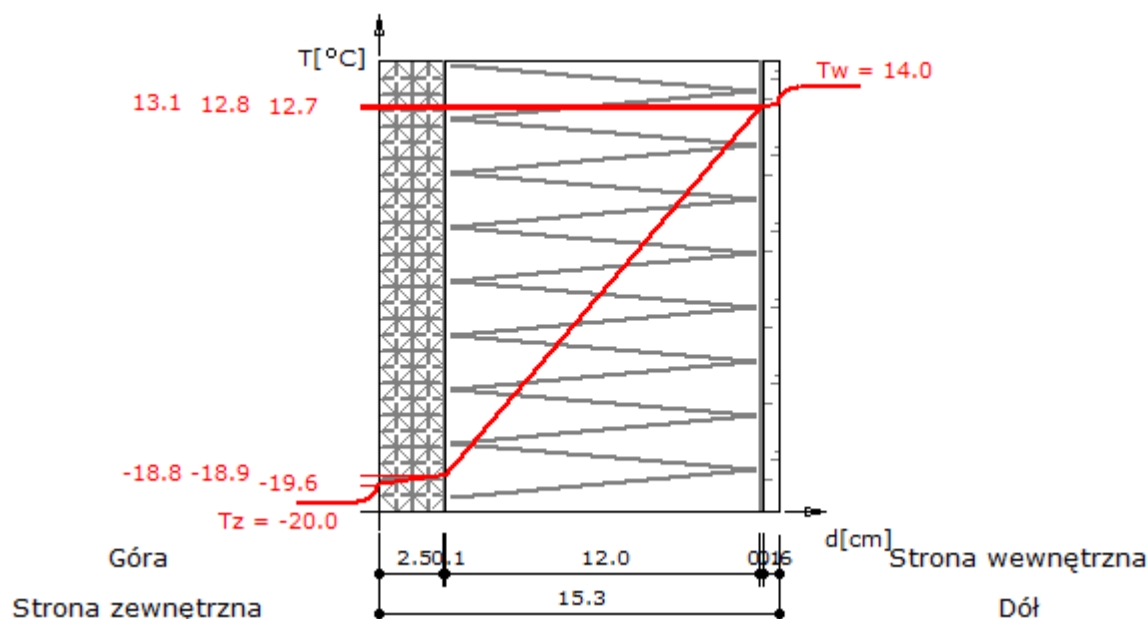
Wykresy rozkładu temperatury i ciśnień pary wodnej dla najbardziej niekorzystnych warunków pogodowych

Wykres rozkładu ciśnień na grubości przegrody



Wykres wykonano przy zachowaniu skali dla ekwiwalentnej grubości warstwy powietrza.

Wykres rozkładu temperatur na grubości przegrody



Wykres wykonano przy zachowaniu skali dla grubości warstw.

Temperatura powierzchni wewnętrznej wynosi $t_{\text{pow}} = 13.08$ °C

Temperatura punktu rosy wynosi $t_s = 5.11$ °C

Nie nastąpi wykroplenie pary wodnej na wewnętrznej powierzchni ściany

$$t_s + 1 = 6.11 < t_{\text{pow}} = 13.08$$

Zestawienie wyników obliczeń ciepłno-wilgotnościowych dla okresu jednego roku.

Miesiąc	Liczba dni	Liczba stref kondensacji	Liczba stref odparowania	ΔM_k	ΔM_o	M_c
Październik	31.00	0	0	0.00000	0.00000	0.00000
Listopad	30.00	1	0	0.00049	0.00000	0.00049
Grudzień	31.00	1	0	0.00079	0.00000	0.00128
Styczeń	31.00	1	0	0.00080	0.00000	0.00208
Luty	28.00	1	0	0.00068	0.00000	0.00275
Marzec	31.00	1	0	0.00040	0.00000	0.00316
Kwiecień	30.00	0	1	0.00000	-0.00063	0.00252
Maj	31.00	0	1	0.00000	-0.00178	0.00074
Czerwiec	9.14	0	1	0.00000	-0.00074	0.00000
Czerwiec	20.86	0	0	0.00000	0.00000	0.00000
Lipiec	31.00	0	0	0.00000	0.00000	0.00000
Sierpień	31.00	0	0	0.00000	0.00000	0.00000
Wrzesień	30.00	0	0	0.00000	0.00000	0.00000

ΔM_k [kg/m²] - przyrost masy skondensowanej wody na m²przegrody

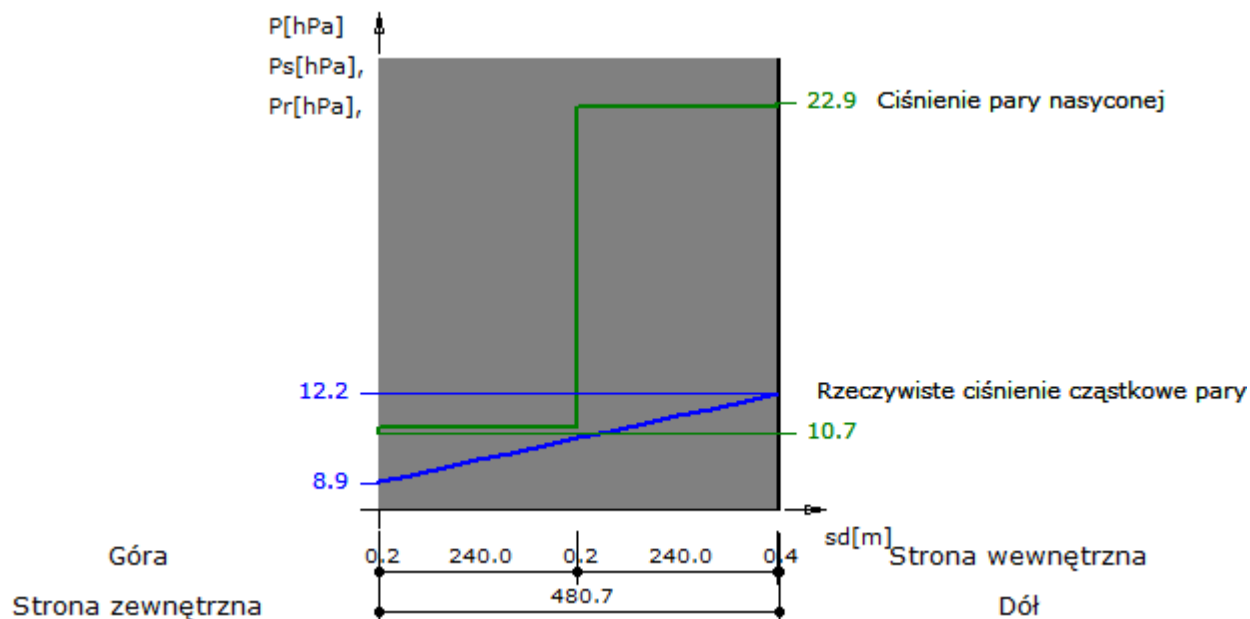
ΔM_o [kg/m²] - ubytek masy odparowanej wody na m²przegrody

M_c [kg/m²] - całkowita masa wody na m²przegrody

Przegroda zaprojektowana poprawnie. Po okresie rozliczeniowym brak wody w przegrodzie.

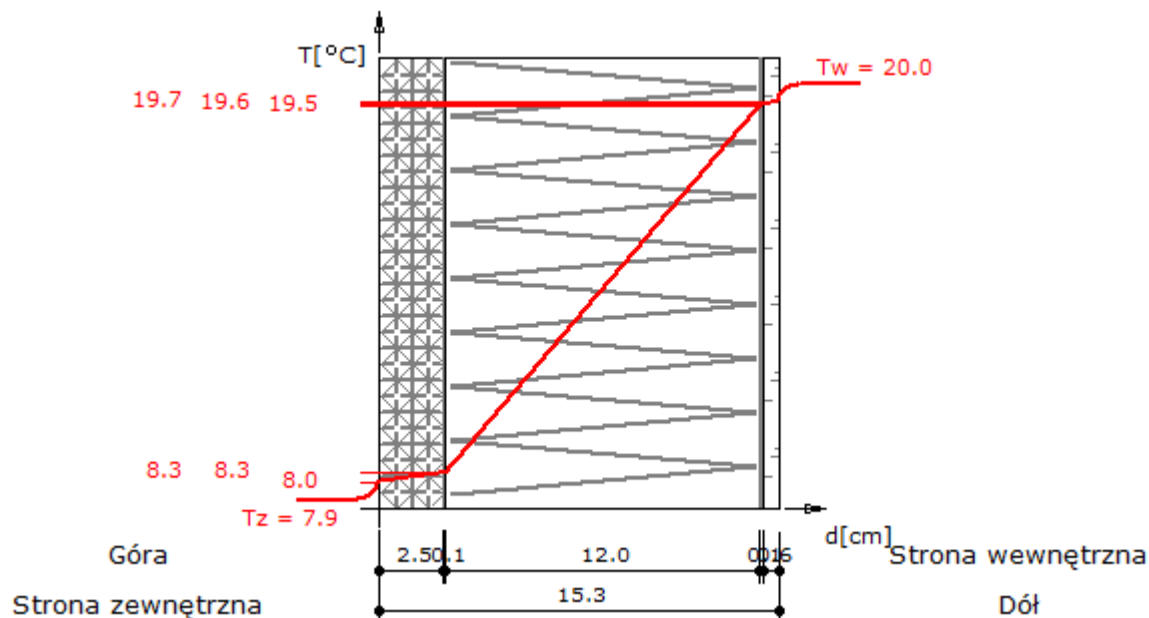
Październik

Wykres rozkładu ciśnień na grubości przegrody



Wykres wykonano przy zachowaniu skali dla ekwiwalentnej grubości warstwy powietrza.

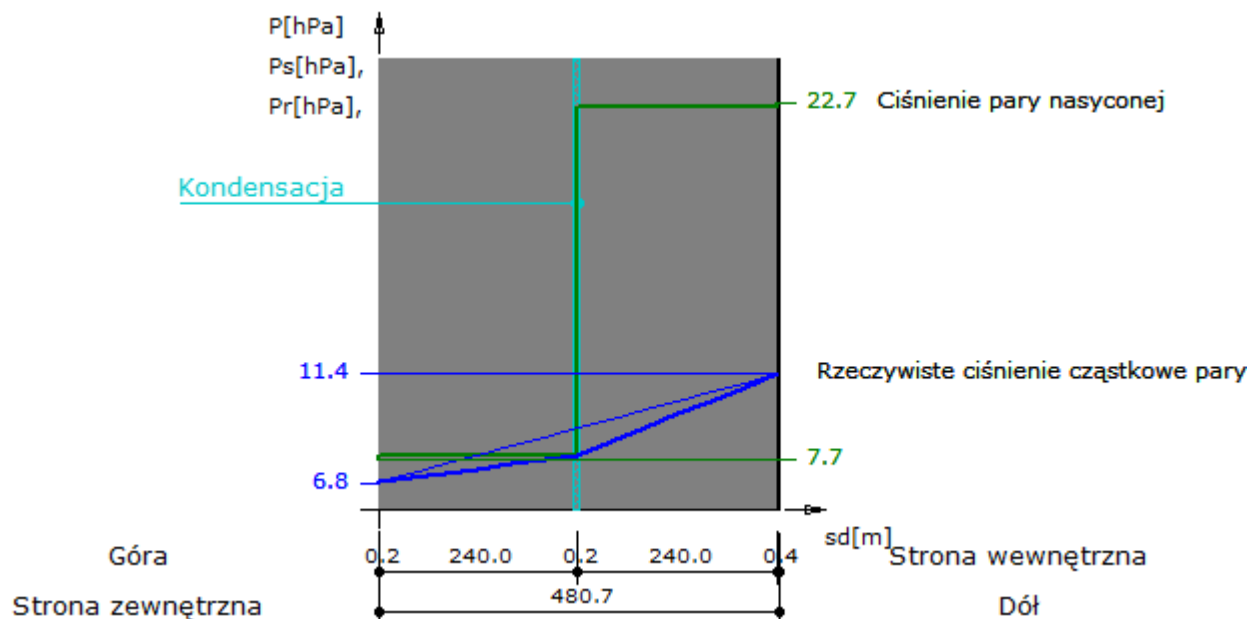
Wykres rozkładu temperatur na grubości przegrody



Wykres wykonano przy zachowaniu skali dla grubości warstw.

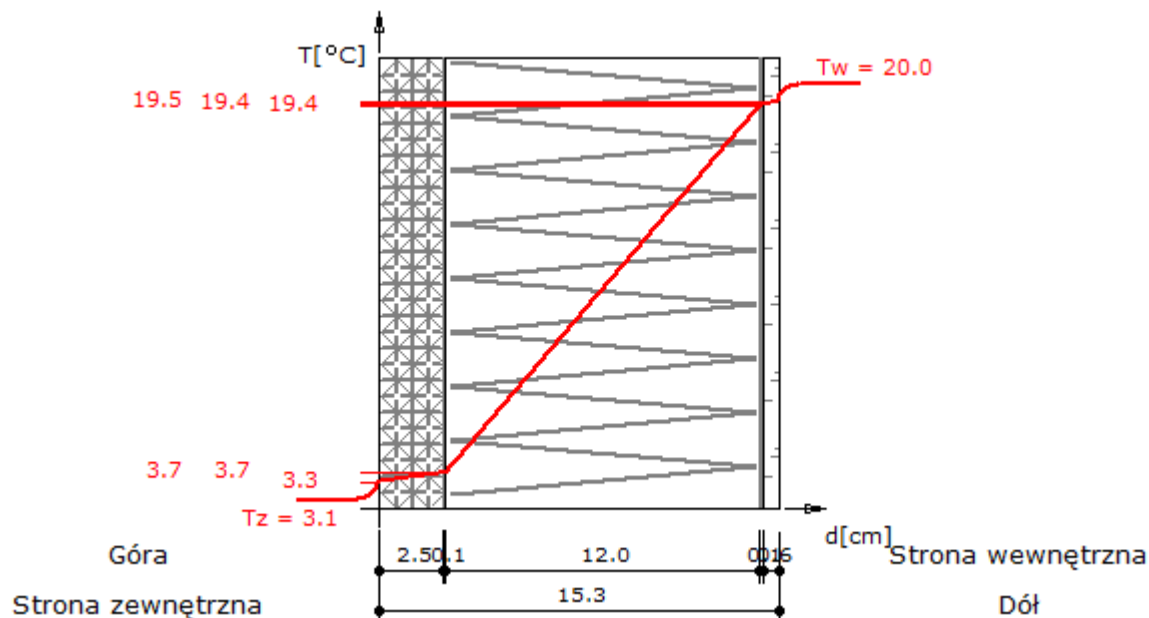
Listopad

Wykres rozkładu ciśnień na grubości przegrody



Wykres wykonano przy zachowaniu skali dla ekwiwalentnej grubości warstwy powietrza.

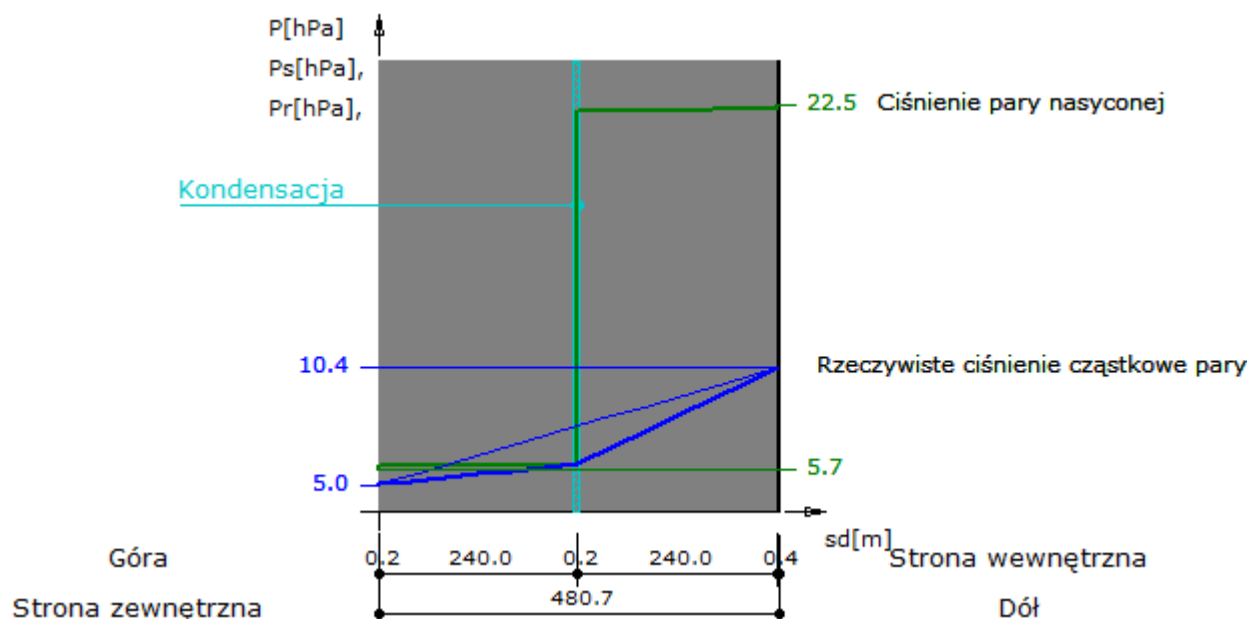
Wykres rozkładu temperatur na grubości przegrody



Wykres wykonano przy zachowaniu skali dla grubości warstw.

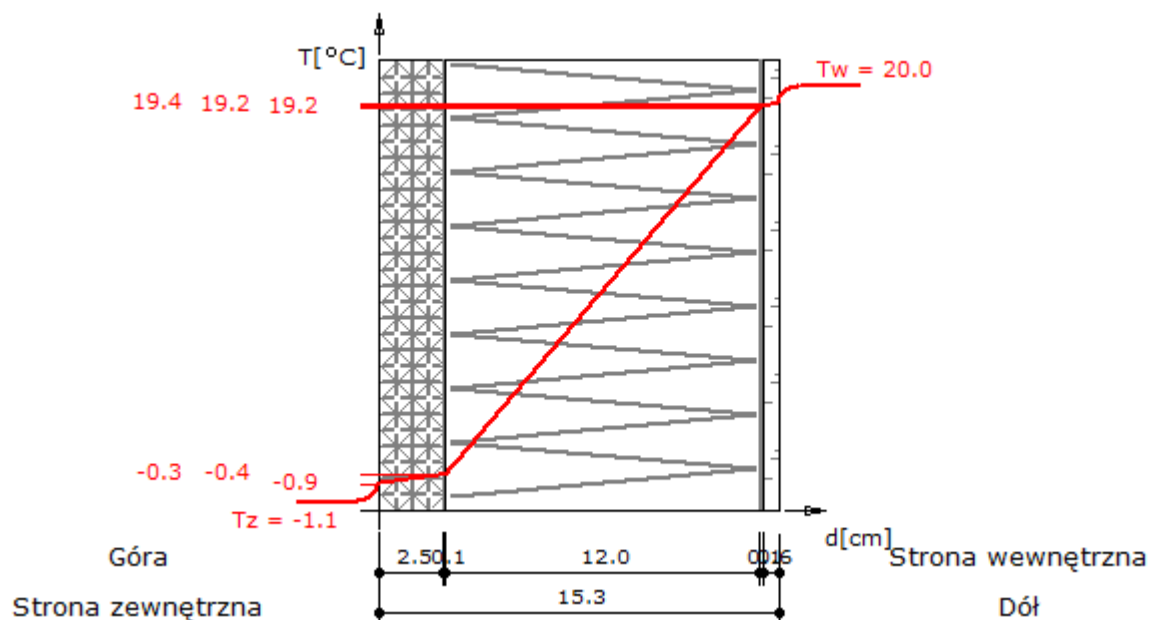
Grudzień

Wykres rozkładu ciśnień na grubości przegrody



Wykres wykonano przy zachowaniu skali dla ekwiwalentnej grubości warstwy powietrza.

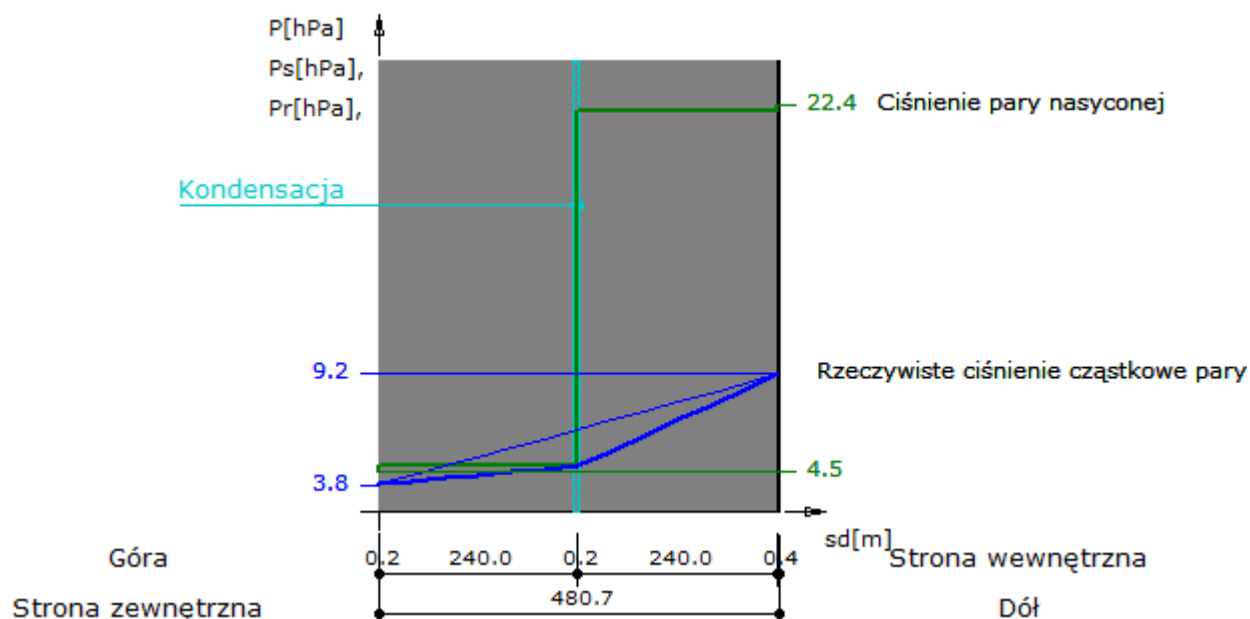
Wykres rozkładu temperatur na grubości przegrody



Wykres wykonano przy zachowaniu skali dla grubości warstw.

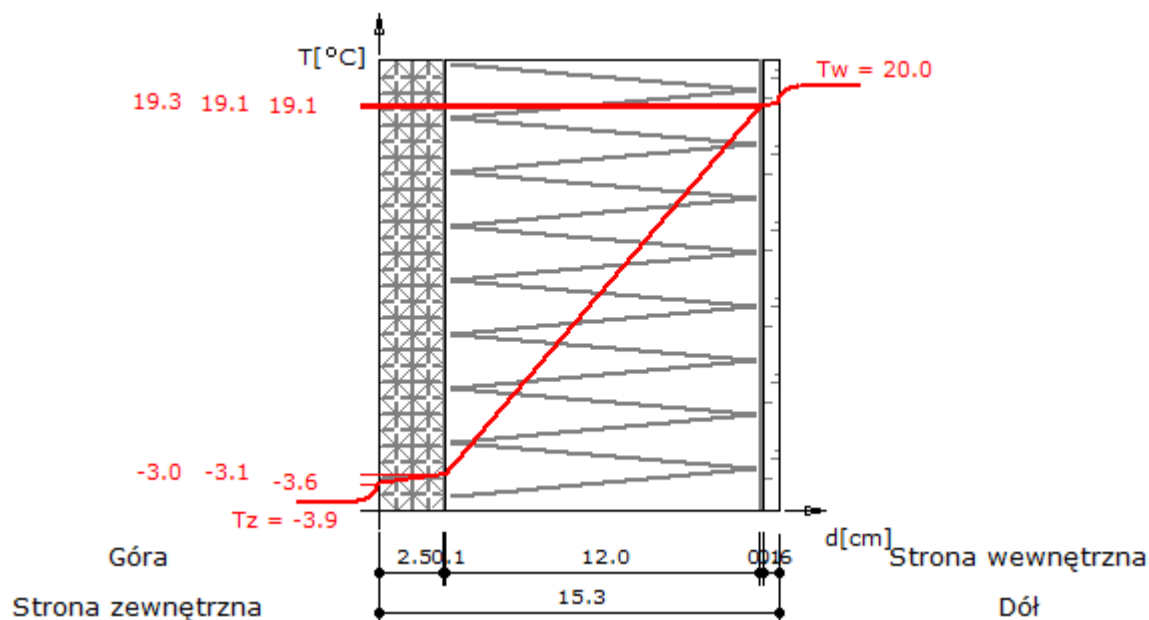
Styczeń

Wykres rozkładu ciśnień na grubości przegrody



Wykres wykonano przy zachowaniu skali dla ekwiwalentnej grubości warstwy powietrza.

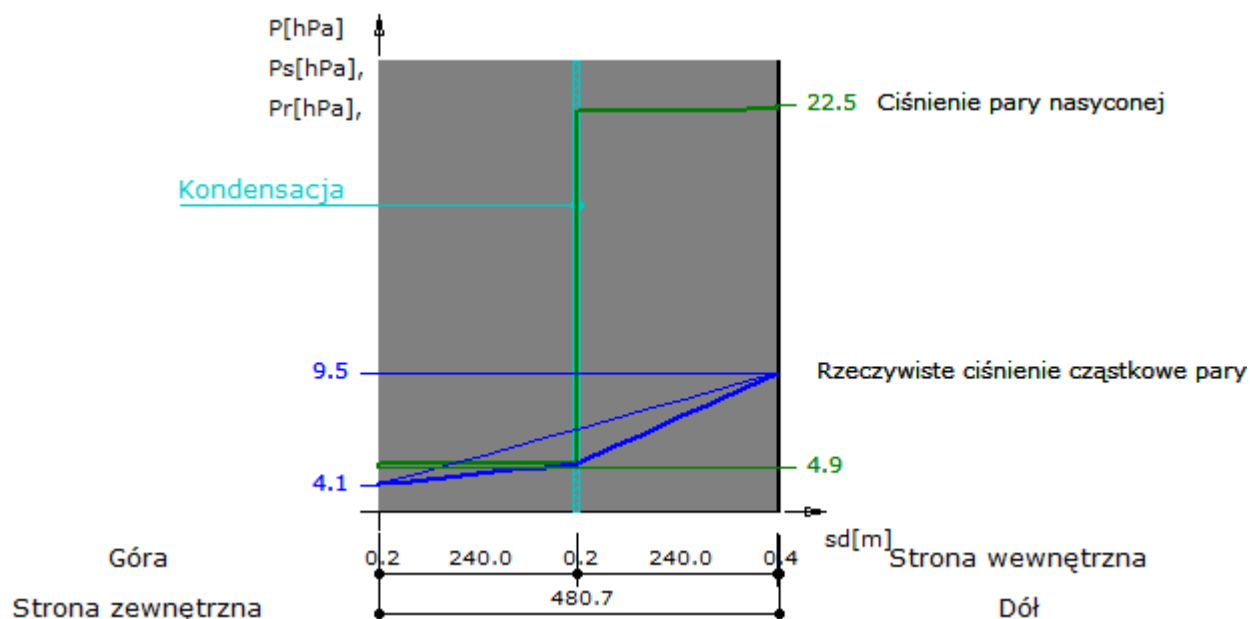
Wykres rozkładu temperatur na grubości przegrody



Wykres wykonano przy zachowaniu skali dla grubości warstw.

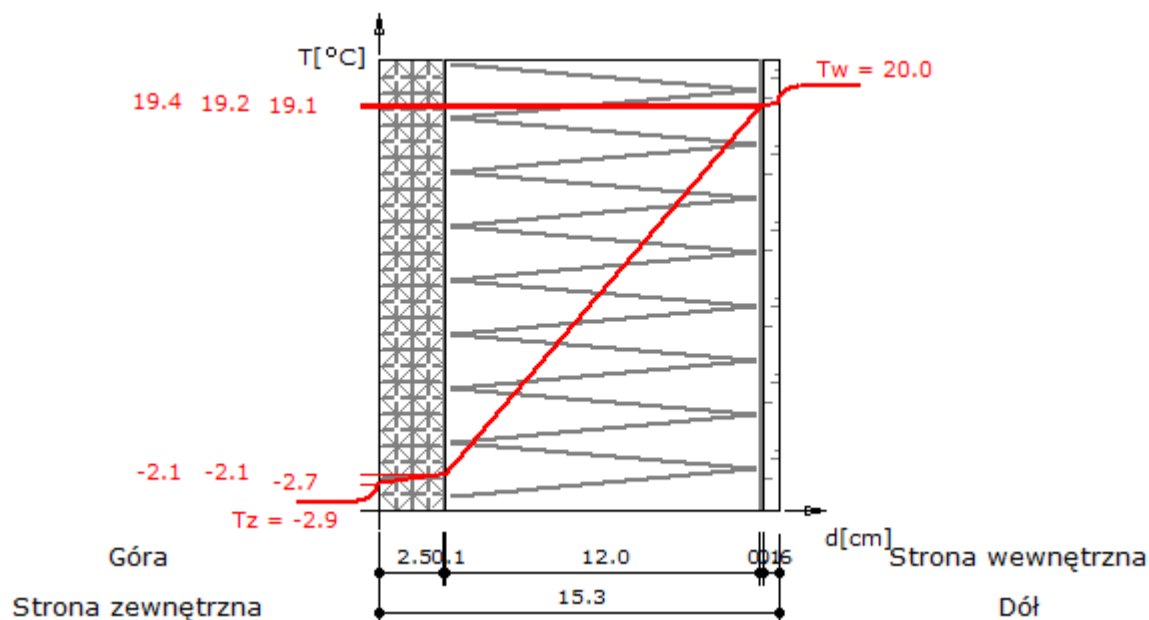
Luty

Wykres rozkładu ciśnień na grubości przegrody



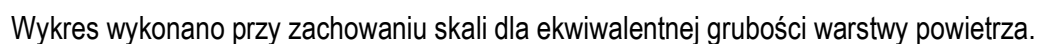
Wykres wykonano przy zachowaniu skali dla ekwiwalentnej grubości warstwy powietrza.

Wykres rozkładu temperatur na grubości przegrody



Wykres wykonano przy zachowaniu skali dla grubości warstw.

Wykres rozkładu ciśnień na grubości przegrody

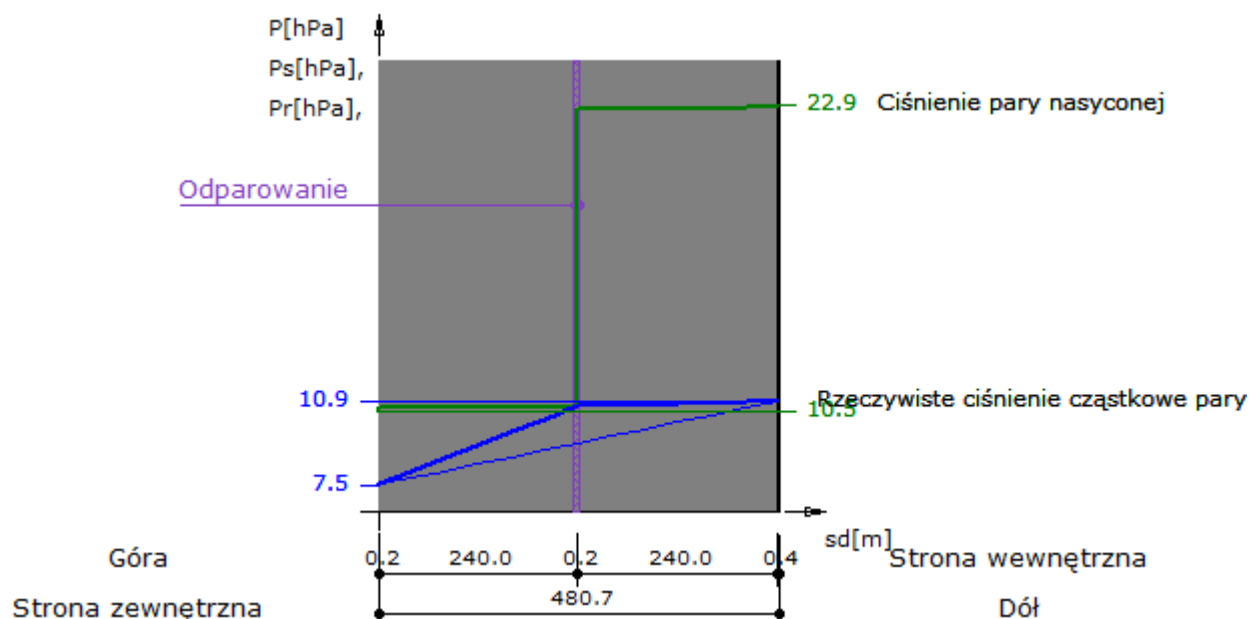


Wykres rozkładu temperatur na grubości przegrody



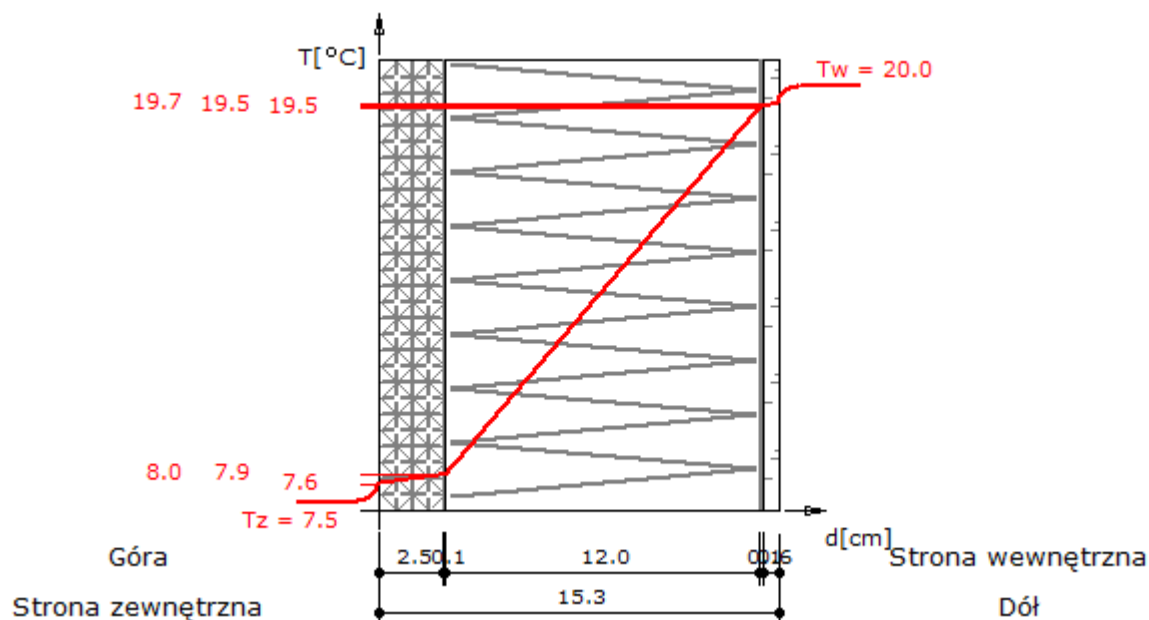
Kwiecień

Wykres rozkładu ciśnień na grubości przegrody



Wykres wykonano przy zachowaniu skali dla ekwiwalentnej grubości warstwy powietrza.

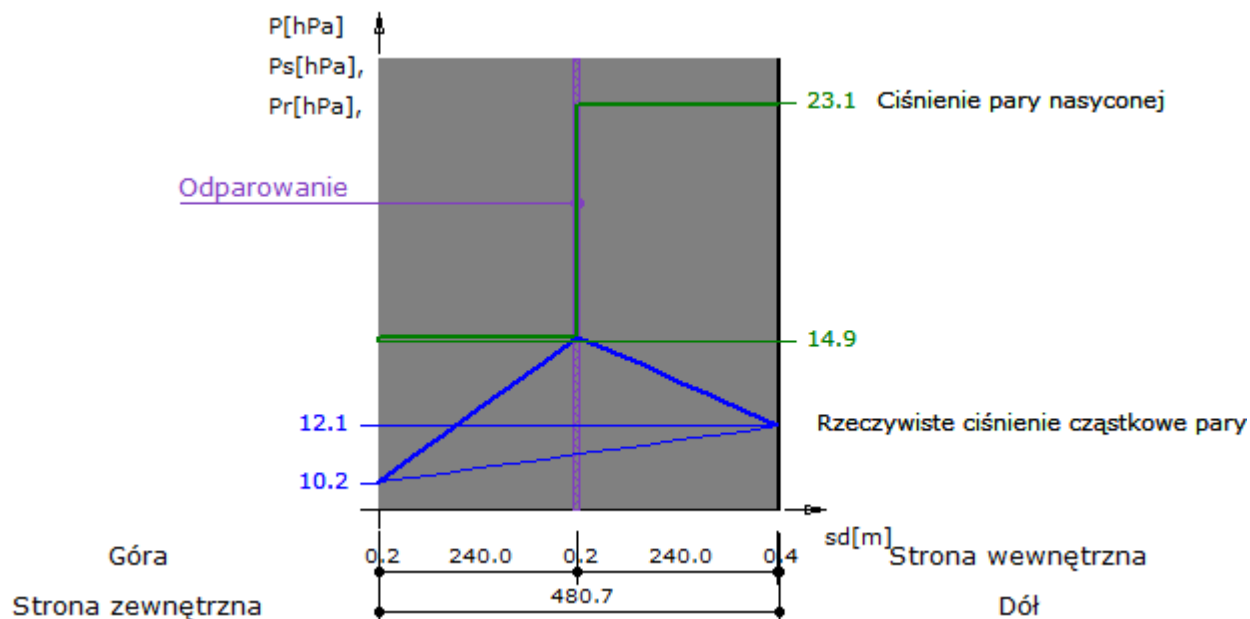
Wykres rozkładu temperatur na grubości przegrody



Wykres wykonano przy zachowaniu skali dla grubości warstw.

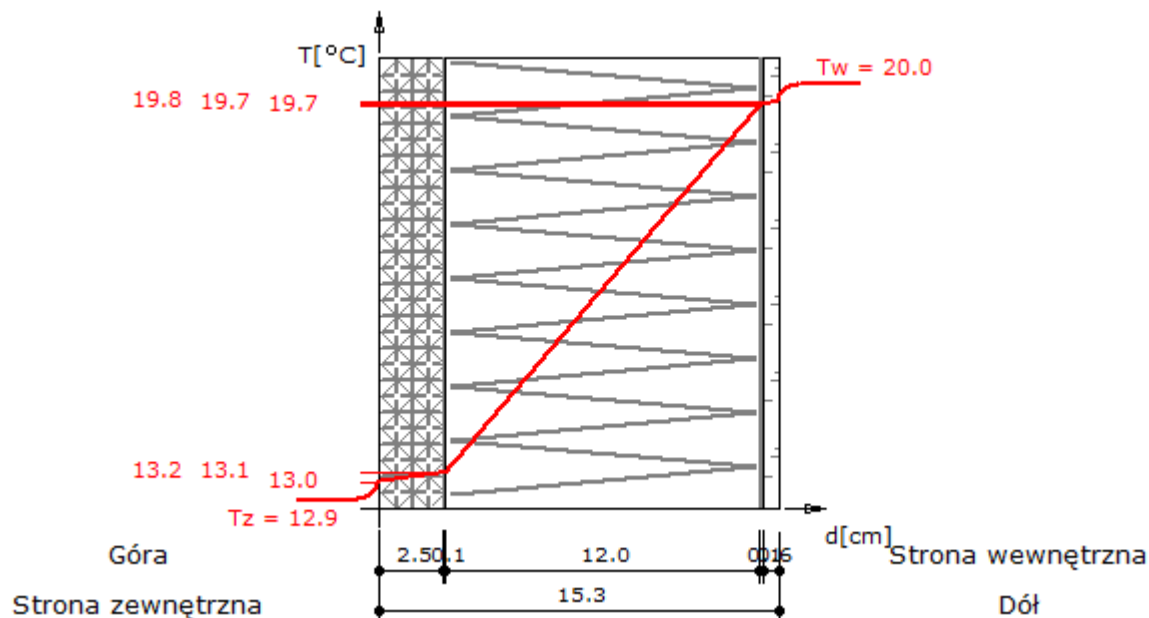
Maj

Wykres rozkładu ciśnień na grubości przegrody



Wykres wykonano przy zachowaniu skali dla ekwiwalentnej grubości warstwy powietrza.

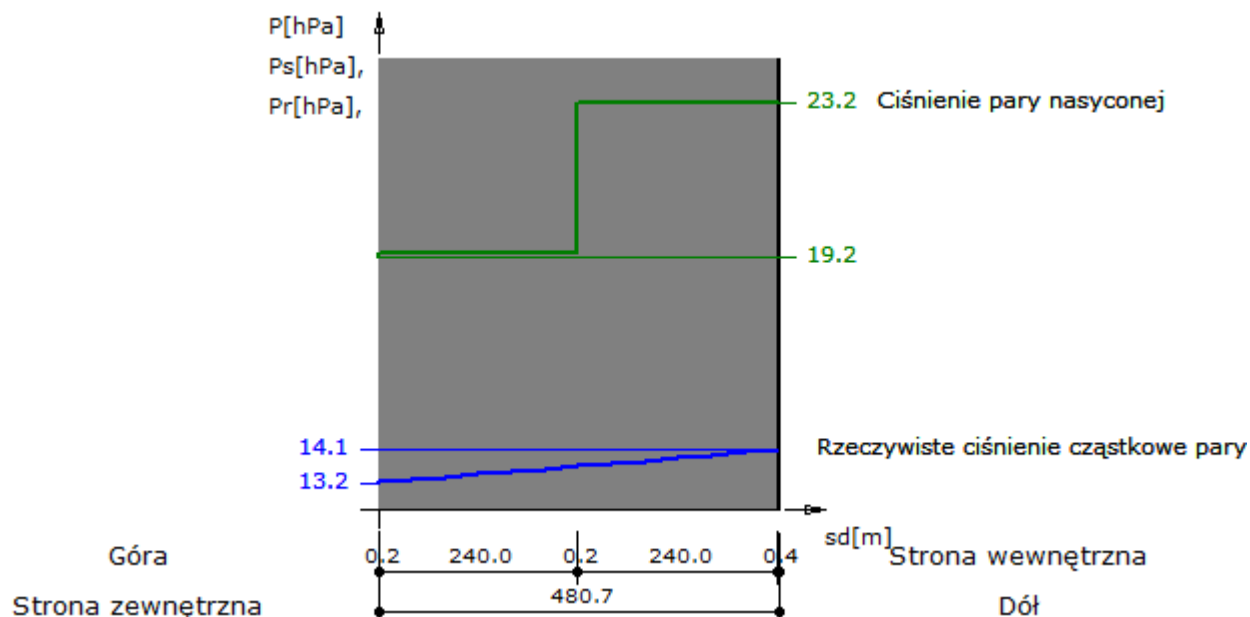
Wykres rozkładu temperatur na grubości przegrody



Wykres wykonano przy zachowaniu skali dla grubości warstw.

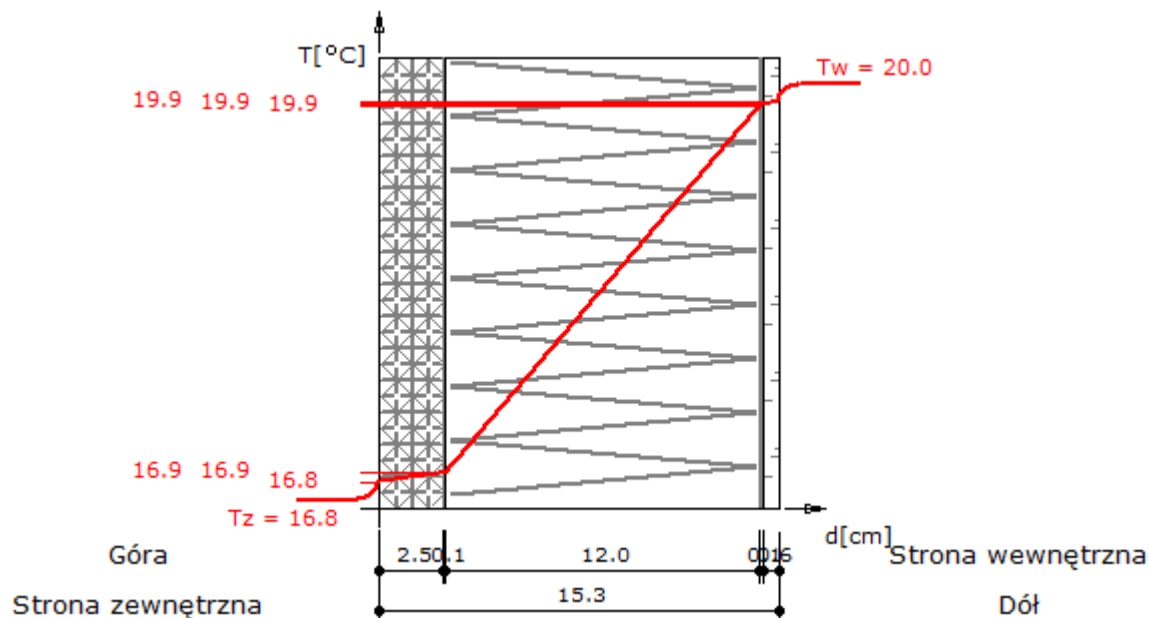
Czerwiec

Wykres rozkładu ciśnień na grubości przegrody



Wykres wykonano przy zachowaniu skali dla ekwiwalentnej grubości warstwy powietrza.

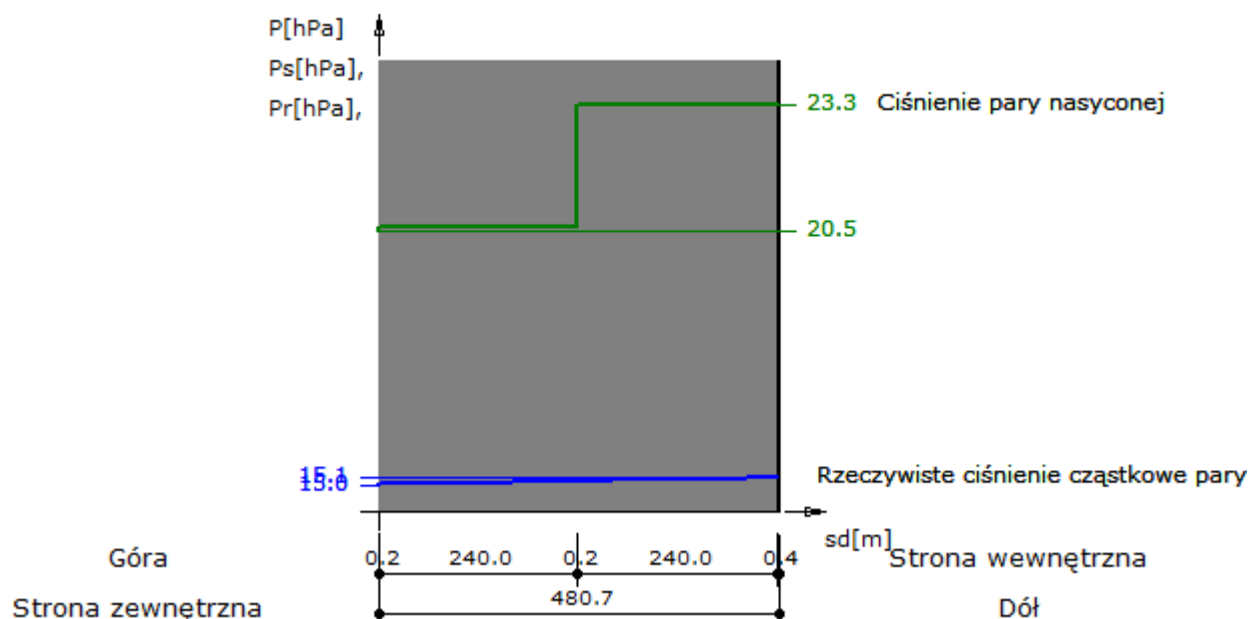
Wykres rozkładu temperatur na grubości przegrody



Wykres wykonano przy zachowaniu skali dla grubości warstw.

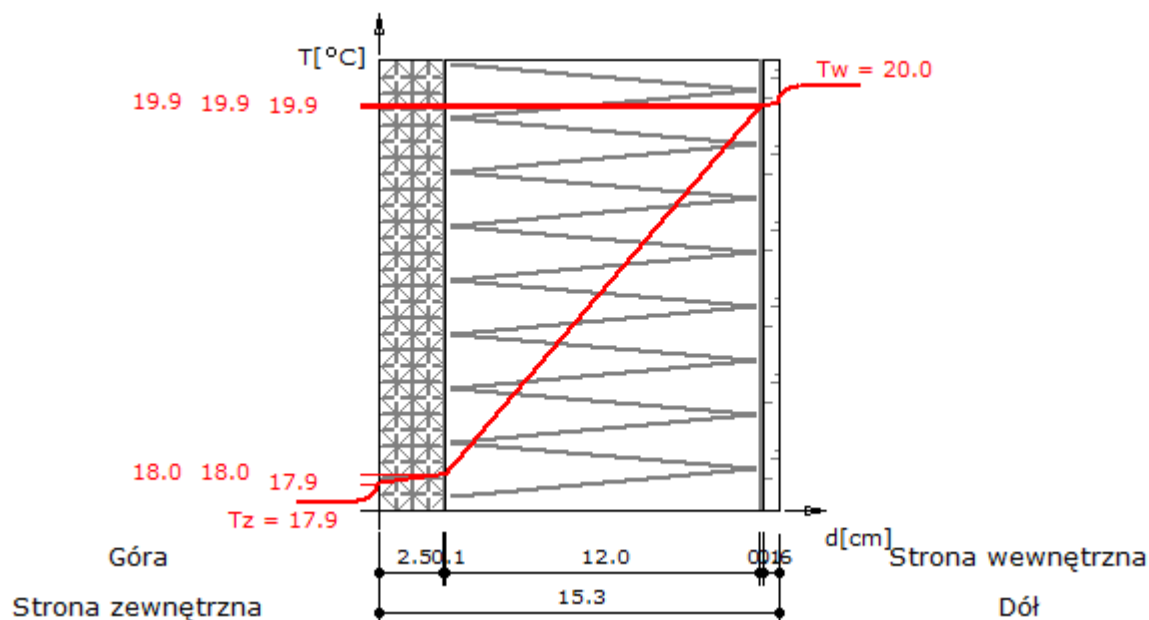
Lipiec

Wykres rozkładu ciśnień na grubości przegrody



Wykres wykonano przy zachowaniu skali dla ekwiwalentnej grubości warstwy powietrza.

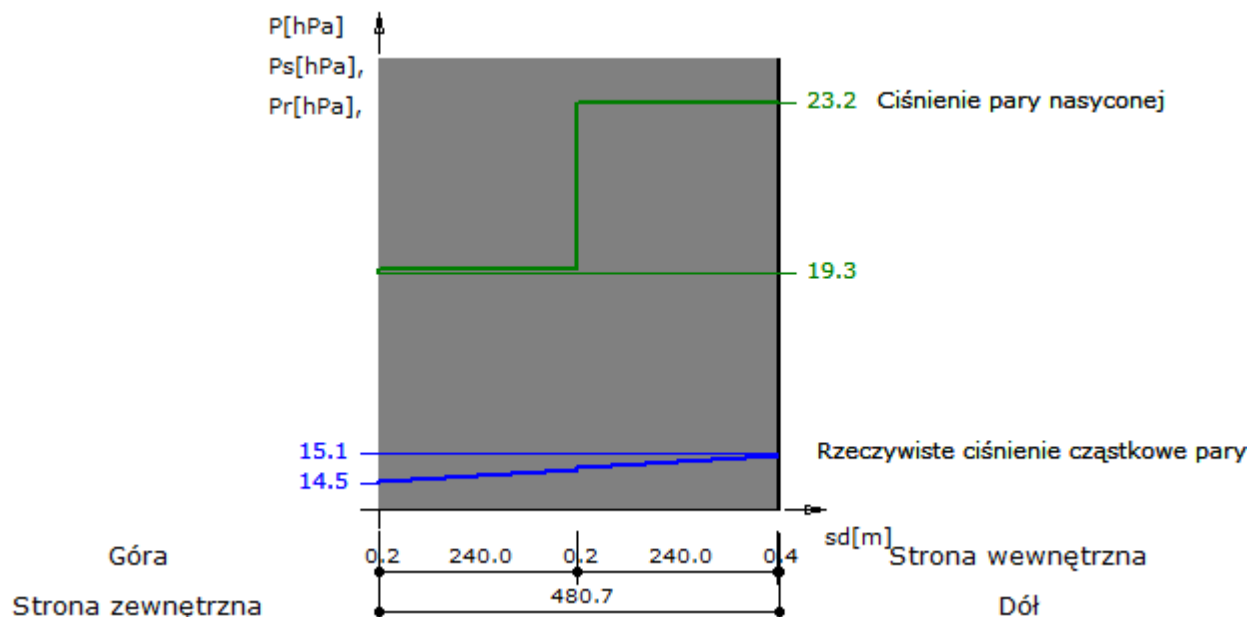
Wykres rozkładu temperatur na grubości przegrody



Wykres wykonano przy zachowaniu skali dla grubości warstw.

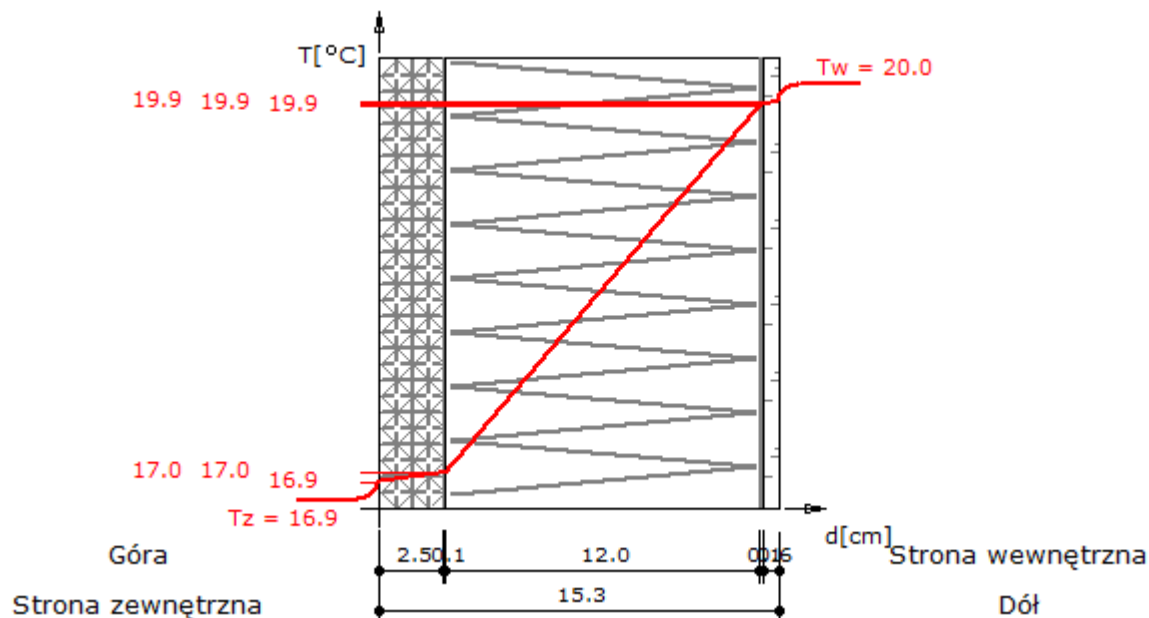
Sierpień

Wykres rozkładu ciśnień na grubości przegrody



Wykres wykonano przy zachowaniu skali dla ekwiwalentnej grubości warstwy powietrza.

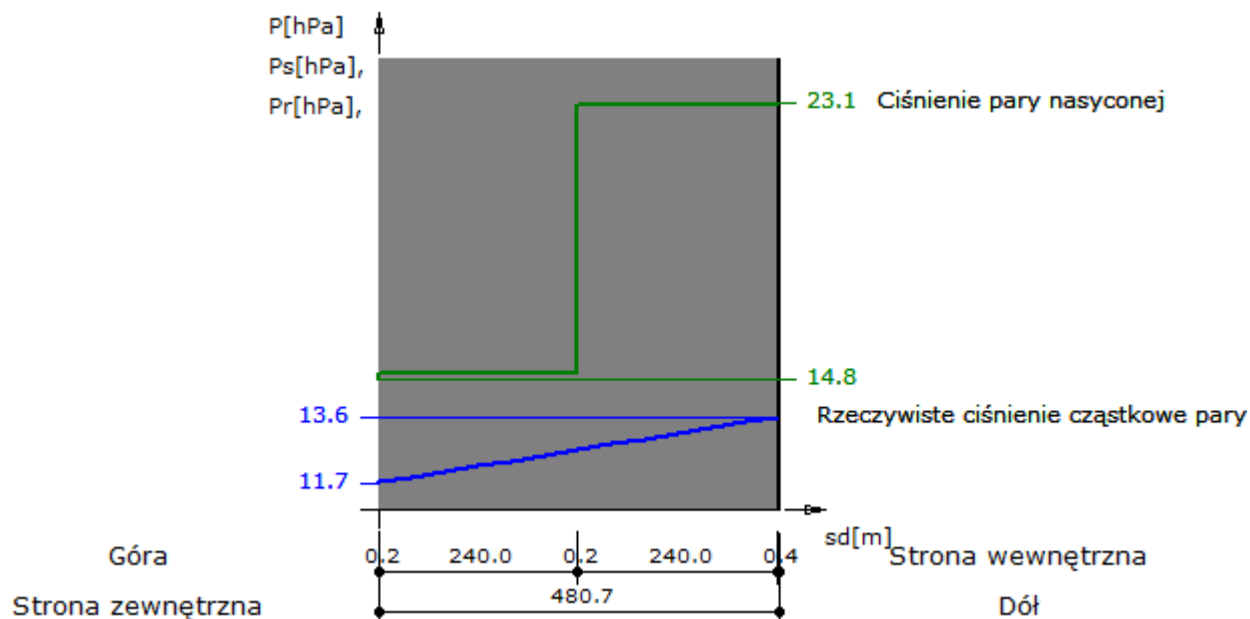
Wykres rozkładu temperatur na grubości przegrody



Wykres wykonano przy zachowaniu skali dla grubości warstw.

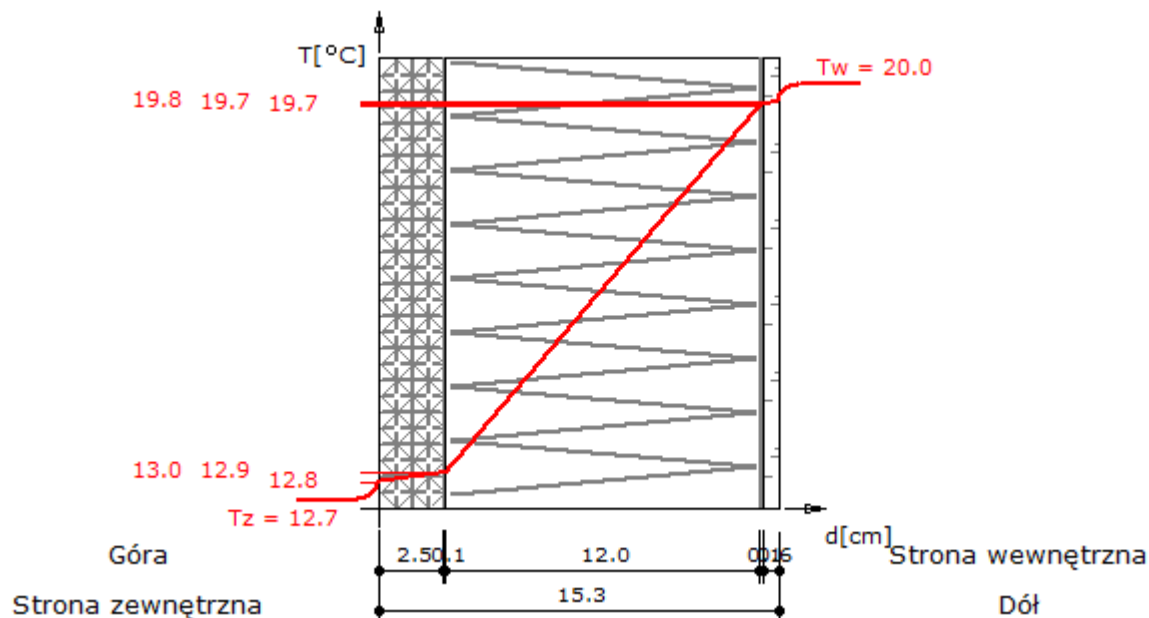
Wrzesień

Wykres rozkładu ciśnień na grubości przegrody



Wykres wykonano przy zachowaniu skali dla ekwiwalentnej grubości warstwy powietrza.

Wykres rozkładu temperatur na grubości przegrody



Wykres wykonano przy zachowaniu skali dla grubości warstw.